

تأثير التعويض الجزئي ل Ag و Sr على الخواص التربيعية للمركب

الفائق للتوصيل الكهربائي عند درجات الحرارة العالية

صبيحي سعيد الرواوى

قسم الكهرباء، كلية الهندسة ، جامعة تكريت

خالد حمدى رزيج

عبد السلام ساقى باقى

قسم الفيزياء، كلية التربية ، جامعة تكريت

الخلاصة:

حضرت عينات فائقة التوصيل عند درجات الحرارة العالية من النوع (2223) $\text{Tl}(\text{Tl}_{2-x}\text{A}_x\text{Ba}_{2-y}\text{Sr}_y\text{Ca}_2\text{Cu}_3\text{O}_{10+\delta})$ ، بطريقة تفاعل الحالة الصلبة، عند درجة الحرارة التلبيد (840°C) لمدة (24h) بمعدل تسخين ($2^{\circ}\text{C}/\text{min}$) وضغط هيدروستاتيكي (8 ton / cm^2)، أظهرت دراسة حيود الأشعة السينية (XRD) للمركب (Tl2223) انه ذو تركيب بلوري من نوع رباعي القائم (Tetragonal) وذات ابعاد شبكة ($a=b=3.91 \text{ \AA}$ و $c=33.54 \text{ \AA}$). وكذلك تم دراسة تأثير التعويض الجزئي للعنصر (Sr) في (Ba) وبنسب مختلفة ل ($x=y$) حيث ($0.1, 0.2, 0.3$) وقد أظهرت نتائج الدراسة من خلال فحص التركيب البلوري للمركب بان التركيب يبقى محافظا على النوع رباعي القائم ضمن المدى ($0 \leq x = y \leq 0.3$)

المقدمة:

مركبات الثاليوم يمكن ان توصف بالصيغة التالية $\text{Tl}_m\text{Ba}_2\text{Ca}_{n-1}\text{Cu}_m\text{O}_{m+2n+2}$ حيث عندما $n=1,2,3$ ، $m=1,2$ شخصت من قبل [1] هناك ستة انواع من هذه المنظومة البروفسكايت مثال على ذلك $\text{Tl}_1\text{Ba}_2\text{Ca}_2\text{Cu}_3\text{O}_9$ ، $\text{Tl}_1\text{Ba}_2\text{Ca}_1\text{Cu}_2\text{O}_7$ ،

$\text{Tl}_1\text{Ba}_2\text{Cu}_1\text{O}_5$ عندما $n=1,2,3$ ، $m=1$ نحصل على وحدات شبيهة ببروفسكايت النحاسي التي تحتوي على واحدة واثنتين وثلاث طبقات منفصلة من طبقات CuO مفصولة ب Ti-O احدى الطبقات على التوالي . عندما $n=2,3$ ، $m=2$ نحصل على ثلاثة وحدات من بروفسكايت النحاسي تحتوي واحدة واثنتين وثلاث من مستويات CuO مفصولة بطبقة Ti-O مزدوجة على التوالي .

للاختصار تشير هذه الى الاطوار Ti-2223 ، Ti-2122 ، Ti-2021 ، Ti-1223 ، Ti-1021 ، Ti-1122 [7-2] مثل سائر HTSC وهذه العناصر لها تراكيب طبقية ولكن التركيب يبدو واضحا للتراكيب المتعددة مع مختلف n,m .

في عام (1988) م اكتشف Sheng and Haman HTSC من قبل ذو نظام Ti-Cu-O (Ba-Cu-O) والذي يملك (T_c) اعلى من درجة غليان سائل النتروجين اضيف (Ca) الى المركب وكانت النتيجة جيدة مما دفع العلماء الى اجراء عدة أبحاث للتعرف على الاطوار المرافقه لهذا النظام. كما درس Beyers في نفس العام التركيب البلوري للأنظمة Ti-2022 وكذلك Ti-2122 ولنظام Ti-2223 فوجد ان الأول ذو طور Orthorhombic، وان كل من Ti-2223 ، Ti-2122 ذو طور Tetragonal وان وحدة الخلية في الأطوار الثلاثة هي من نوع متمركز الجسم وان ابعاد الشبكية لوحدة الخلية البنائية هي $a=b=3.85 \text{ \AA}$ وان $c=36.26 \text{ \AA}$ ، $a=b=3.822 \text{ \AA}$ وان $c=29.39 \text{ \AA}$. كذلك قام Kajitan وآخرون (1990) باعادة دراسة التركيب البلوري ل Ti-2122 ، Ti-2223 باستقصاء تقنية تفاعل الحالة الصلبة ايضا وبينوا ان ابعاد الشبكية للأطوار المذكورة هي، $a=3.85 \text{ \AA}$ ، $b=3.853 \text{ \AA}$ ، $c=29.24 \text{ \AA}$ ، $a=b=3.85 \text{ \AA}$ على التوالي.في عام 1993 قام Natatame وآخرون بدراسة الخواص التربيعية ل Ti-2223 المصنع بطريقة تقنية الأغشية رقيقة وباستخدام طريقة الاستئصال الليزري Laser ablation method اذا استخدموا طريقة حيود الأشعة السينية اذ بينوا ان النظام المذكور هو من نوع رباعي فائمه.في عام (1997) م قام الباحث Fathulla M. وآخرون بدراسة الخواص التربيعية والكهربائية للمركب $\text{Ti}_{2-x}\text{Re}_x\text{Ba}_{2-y}\text{Sr}_y\text{Cu}_3\text{O}_{10+y}$ والذي حضر عند درجات حرارة تلبيد 850°C درجة مئوية عن طريق تفاعل الحالة الصلبة من خلال اجراء التعويض الجزيئي لعناصر الأثرية

النادرة ($\text{En}, \text{Ho}, \text{La}, \text{Tm}$) بدلاً من Tl تم الحصول على درجات حرارية حرجة عالية (أعلى من السابق) (125K) لكل المركبات والتي لها نظام رباعي التركيب. [8-11].

1- الجانب النظري :

يمكن التعرف على التركيب البلوري لمادة ما ودراسة الترتيب الذري في الشبكة البلورية، او حتى تصويره باستخدام اشعة ذات طول موجي في حدود المسافة البنية للذرات والتي تصل لبضعة انكرستومات وانسب الموجات لهذا الاستخدام هي موجات الاشعة السينية ($x\text{-ray}$) وال WAVES المصاحبة للالكترونات والنيوترونات، وللحصول على تفاصيل جيدة للشبكة البلورية يقتضي ان يكون التفاعل بين الموجات ضعيفة لدرجة تسمح بان تنفذ الموجات لعدة مستويات داخل البلورة بحيث يتاح لها ان تداخل تداخلا بناءا.

تمكن براك من فرض نموذج بسيط للتركيب البلوري يمكن بواسطته معرفة اتجاه حيود الاشعة السينية من البلورة بعد سقوطها عليها. وفي هذا النموذج افترض براغ ان المستويات المختلفة التي تتكون من ذرات البلورة يمكن ان تعكس الاشعة السينية. وبذلك استنتج براك

$$n\lambda = 2d_{hkl} \sin \Theta \quad (1)$$

حيث (Θ) زاوية سقوط الاشعة و (λ) الطول الموجي للاشعة ، (n) عدد صحيح يسمى رتبة الانعكاس و (d_{hkl}) المسافة البنية لمجموعة المستويات (hkl). ويمكن حساب ابعد الشبكة (a, b, c) بعد معرفتنا لاعداد ميلر (hkl) والمسافة (d) من معلومات المعطاة من بيانات ($x\text{-ray}$) وباستخدام العلاقة التالية:

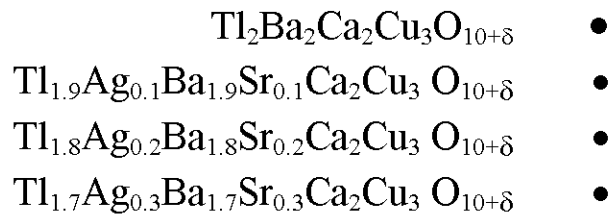
$$\frac{1}{d_{hkl}^2} = \frac{h_1^2}{a^2} + \frac{k_1^2}{b^2} + \frac{l_1^2}{c^2} \quad (2)$$

2- الجانب العملي :

حضرت النماذج بطريقة تفاعل الحالة الصلبة ، في البدء توزن كمية من المواد عالية النقاوة من المركبات $\text{BaO}, \text{CaO}, \text{CuO}$ وبنسبة وزنية (2:3:2) تطحن الخليط بواسطة مطحنة من العقيق للحصول على مسحوق ذات دقائق لا تتجاوز قطرها ($50\mu\text{m}$). وهذا المسحوق يخلط مع كمية أخرى من مواد ذو نقاوة عالية من المركب Tl_2O_3 وذلك للحصول على خليط من مركب $\text{Tl}_2\text{Ba}_2\text{Ca}_2\text{Cu}_3\text{O}_{10+}$ بعد الطحن تكتس تحت ضغط هيدروستاتيكي

(/) للحصول على أقراص (pellets) ذات قطر (1.3cm) بسمك (0.1cm)² 8 ton (cm²) حيث توضع الأقراص داخل أفران مبرمجة وتوضع كمية من (O_2) بمعدل (1 L\h) ويتم رفع درجة حرارة الفرن إلى (840 °C) خلا (24h) وبمعدل (2°C/min) ثم تترك العينة لمدة (12h) داخل الفرن ومن ثم تبريد تدريجياً إلى درجة حرارة الغرفة وبهذا تكون المركبات معدة للفحوصات اللازمة.

3 - النتائج العملية والمناقشة : تم تحضير اربع عينات كالتالي :



استخدم جهاز (XRD) من نوع (Phillips PW 1140/00 Cu $\text{K}\alpha$) ذو التيار (mA 30) وذات الفولتية (KeV 40) ، Θ 2 ضمن المدى (20-60) وطول موجي A° 1.54 . حصلنا على البيانات والمنحنيات الخاصة لكل عينة وتم تحليل منحنيات (X-ray) من خلال متابعة ثلاثة عوامل مهمة وهي موقع القمم وشدة القمم وعرض القمم (الحدة) فضلاً على تراكب القمم عند الزوايا الكبيرة وإزاحة القمم عن مواقعها. الشكل رقم (1) يبين منحني المركب $\text{Tl}_2\text{Ba}_2\text{Ca}_2\text{Cu}_3\text{O}_{10+\delta}$ وفيها نجد أن العناصر ظهرت في مواقعها مقارنة مع المنحنيات العالمية وفيها تظهر قمم واضحة وحادة بالأخص عند $\Theta = 35.2^\circ$. وتمثل هذا الشكل إلى رباعي قائم (Tetragonal). ولكن مزيج من الأطوار (2122) و (2223) ومن خلال معرفتنا لقيمة d (المسافة بين مستويات البلورية) المعطاة ضمن بيانات x-ray والتي تحقق قانون براك [12].

$$n\lambda = 2d_{hkl} \sin\Theta$$

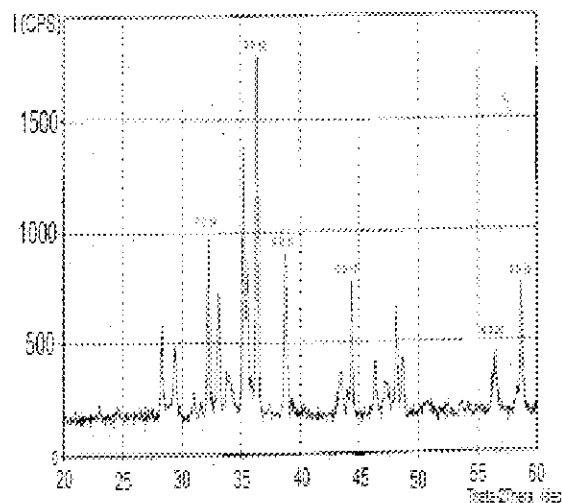
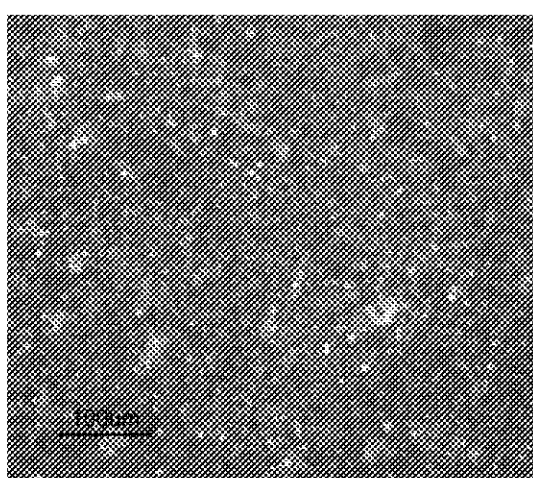
وباستخدام برنامج Cart x-ray والمقارنة مع النماذج العالمية تم الحصول على أعداد ميلر (hkl) ومن ثم أيجاد أبعاد الشبكة من خلال القانون [12] .

$$\frac{1}{d_{hkl}^2} = \frac{h_1^2}{a^2} + \frac{k_1^2}{b^2} + \frac{l_1^2}{c^2}$$

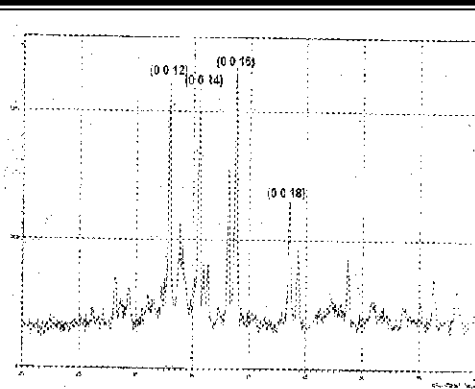
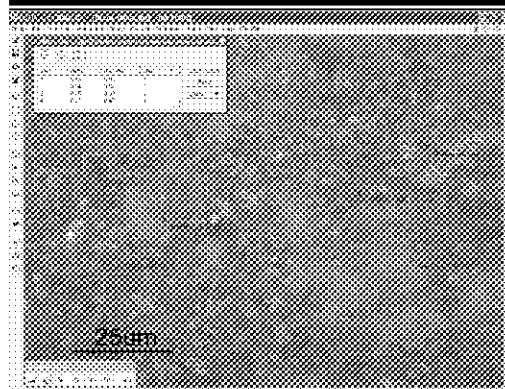
• وكانت أبعاد الشبكة ($\text{A}^\circ \text{c}=33.54$) و ($\text{A}^\circ \text{a}=\text{b}=3.91$) ، الشكل رقم (2) يبين تأثير التعويض الجزئي عنصر (Ag) و (Sr) على الخواص التركيبية للمركب عند ($x=y=0.1$)

لتصبح المركب بالصيغة التالية $\text{Tl}_{1.9}\text{Ag}_{0.1}\text{Ba}_{1.9}\text{Sr}_{0.1}\text{Ca}_2\text{Cu}_3\text{O}_{10+\delta}$ ، ومن خلال مراقبة القمة عند $(2\Theta = 35.2^\circ)$ نلاحظ ارتفاعاً في شدة القمة وزيادة في حيتها وبقي المركب محافظاً على شكله الرباعي القائم (Tetragonal) وبأبعاد شبكة $A^\circ a=b=3.8$ ، $A^\circ c=39.5$. الشكل (3) يبين تأثير التعويض الجزئي لعنصر (Ag) و (Sr) على الخواص التركيبية للمركب عند $x=y=0.2$ ليصبح المركب بالصيغة التالية $\text{Tl}_{1.8}\text{Ag}_{0.2}\text{Ba}_{1.8}\text{Sr}_{0.2}\text{Ca}_2\text{Cu}_3\text{O}_{10+\delta}$ لاحظنا ارتفاعاً في شدة الحيود عند $(2\Theta = 35.2^\circ)$ مع زيادة حدة عرض القمة، وان المركب أصبح أكثر انتظاماً وكانت أبعاد الشبكة عند هذا التعويض $(A^\circ c=39.6)$ ($A^\circ a=b=3.92$). ومن خلال الشكل (4) أظهرت نتائجنا عند زيادة نسبة (Ag) و (Sr) في المركب المذكور إلى $(x=y=0.3)$ بقي المركب محافظاً على الشكل الرباعي القائم وبأبعاد شبكة $(A^\circ a=b=3.84)$ و $(c = 37.68 \text{ } A^\circ)$.

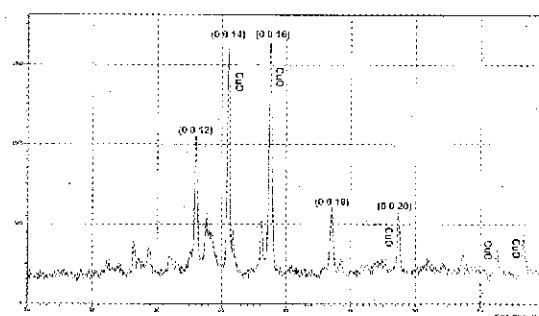
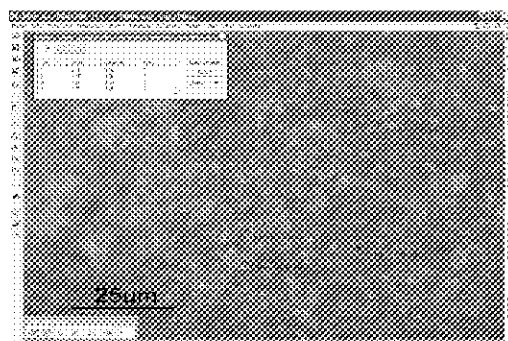
ومن الجدير بالذكر من خلال ملاحظتنا للأشكال الاربعة لم يحدث اي ازاحة (Shifting) للقمم بشكل ملحوظ عن مواقعها وهذا يدل على عدم حدوث شد سواءً منتظم او غير منتظم اثناء عملية التعويض و التثبيط ومن خلال متابعتنا للتراكيب السطحية بواسطة المجهر الضوئي نلاحظ ان هذا الانتظام يتفق مع الخواص التركيبية المدرستة من خلال الـ (X-Ray) وان الحجم الحبيبي (اقطار الحبيبات) تميل الى الانتظام و التجانس .



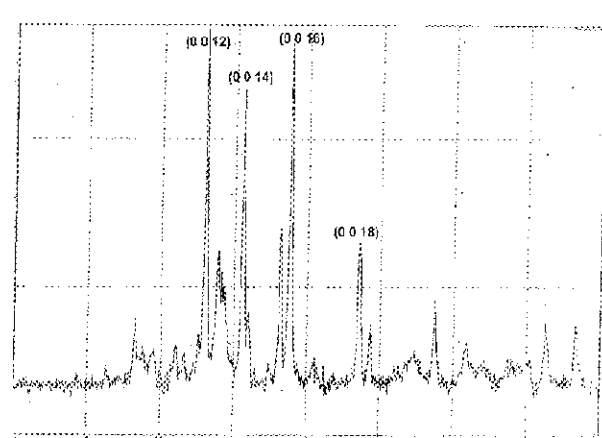
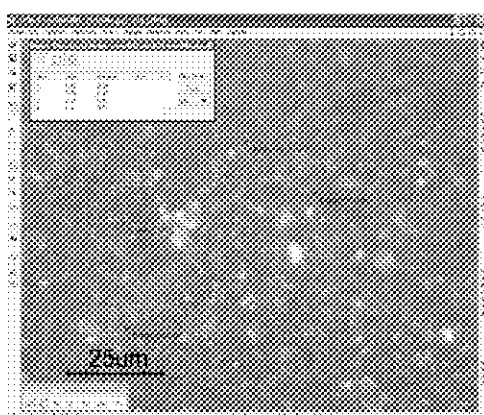
شكل رقم (1) يبين دراسة حيود الاشعة السينية للمركب المحضر عند ($x=y=0$) والمجهر الضوئي



شكل رقم (2) يبين دراسة حيود الاشعة السينية للمركب المحضر عند ($x=y=0.1$) والمجهر الضوئي



شكل رقم (3) يبين دراسة حيود الاشعة السينية للمركب المحضر عند ($x=y=0.2$) والمجهر الضوئي



شكل رقم (4) يبين دراسة حيود الاشعة السينية للمركب المحضر عند ($x=y=0.3$) والمجهر الضوئي

4- الاستنتاجات :

- من خلال دراسة حيود الأشعة السينية للمركب $\text{Tl}_2\text{Ba}_2\text{Ca}_2\text{Cu}_3\text{O}_{10+\delta}$ والذي تم تحضيره عند درجة حرارة تلدين (840°C) وضغط هيدروستاتيكي (8 ton/cm^2) تبين انه يمتلك تركيب بلوري من النوع الرباعي القائم (Tetragonal) .
- عند التعويض الجزئي للعنصر (Sr) و (Ag) في العنصر (Ba) للمركب $\text{Tl}_2\text{Ba}_{2-y}\text{Sr}_y\text{Ca}_2\text{Cu}_3\text{O}_{10+\delta}$ بقي المركب محافظا على تركيبه الرباعي القائم عندما كانت نسبة التعويض $x=y=0.1, 0.2, 0.3$ مع تحسين الخواص الترقية للمركب (Tl2223) ، وهذا التحسين في خواص المركب المذكور قد يؤثر ايجابيا على درجة الحرارة الحرجة للمركب.

Reference:

- [1] R. Hott, R. Kleiner, T. Wolf & G. Zwicknag "Frontiers in Superconducting Materials" Springer Verlag, Berlin, (2004).
- [2] C. W. Chu, IEEE Trans. Appl. Supercond. 7 (1997) 80
- [3] A. Iyo, Y. Tanaka, Y. Ishiura, M. Tokumoto, K. Tokiwa, T. Watanabe, H. Ihara, Supercond. Sci. Technol. 14 (2001) 504
- [4] A. Iyo, Y. Aizawa, Y. Tanaka, M. Tokumoto, K. Tokiwa, T. Watanabe, H. Ihara, Physica C 357-360 (2001) 324
- [5] D. Tristan Jover, R. J. Wijngaarden, R. Griessen, E. M. Haines, J. L. Tallon, R. S. Liu, Phys. Rev. B 54 (1996) 10175
- [6] Z. Y. Chen, Z. Z. Sheng, Y. Q. Tang, Y. F. Li, L. M. Wang, D. O. Pederson, Supercond. Sci. Technol. 6 (1993) 261
- [7] R.M. Hazen, The Racofor S.C. (submit books) (1988).
- [8] C. W. Chu, IEEE Trans. Appl. Supercond. 7 (1997) 80
- [9] D. Tristan Jover, R. J. Wijngaarden, R. Griessen, E. M. Haines, J. L. Tallon, R. S. Liu, Phys. Rev. B 54 (1996) 10175
- [10] A. Iyo, Y. Tanaka, Y. Ishiura, M. Tokumoto, K. Tokiwa, T. Watanabe, H. Ihara, Supercond. Sci. Technol. 14 (2001) 504
- [11] Fathulua M.N , Ph.D.Thesis University of Baghdad (1997)
- [12] C. Kittel, "Introduction to Solid State Physics" Wiley (2005)

Effect of Partial Substitution of Ag and Sr on Structural Properties of the Superconductor Compound $Tl_{2-x}Ag_xBa_2-ySr_yCa_2Cu_3O_{10+\delta}$ at High Temperatures

Subhi.S.R¹,Khaled.H.M², Abdul Salam .S.B²

University of Tikreet, College of Engeerning,Dept of Electreic¹

University of Tikreet, College of Education,Dept of Physics²

Abstract:

The sample of high temperature superconductivity of type Tl-2223

($Tl_2 Ba_2 Ca_2 Cu_3 O_{10+\delta}$) have been prepared by using solid state reaction method . The samples have been prepared at the sintering temperature (840° C) for (24h) at average heating rate (2° C/ Min) and hydrostatic pressure (8 ton / cm²).

The partial substitution effect of(Ag) in (Tl) and (Sr) in (Ba) in the compound as

($Tl_2 Ba_{2-y} Sr_y Ca_2 Cu_3 O_{10+\delta}$) has been investigated where (x= y= 0.1, 0.2 and 0.3). The X-Ray diffraction patterns were obtained , the compound has been characterized as (Tl-2223) having tetragonal structure with lattice parameters (a=b=3.91 Å) and (c= 33.54 Å) for (x=y=0). Also the X-Ray diffraction data showed that the structure of the compound is tetragonal phase in the rang (0 ≤ x = y ≤ 0.3).